

BIOCHEMIE II - SEMINÁŘ

Mgr. Pavel Bouchal, Ph.D.

Ústav biochemie P F MU

e-mail: bouchal@chemi.muni.cz

Tel. 54949 3251, 3252

Kamenice 5, budova A5, místnost 208, 212

Konzultace: po dohodě

PROGRAM SEMINÁŘE

1. **Nukleové kyseliny:** Nukleové báze, nukleotidy, primární struktura NK.
2. Replikace, transkripce, translace a proteosyntéza. Úvod do molekulární biologie
3. Test 1
4. Metabolismus a biosyntéza **sacharid** : Glykolýza, glukoneogeneze, Coriho cyklus, pentosový cyklus
5. Metabolismus a biosyntéza **lipid** : β -oxidace a biosyntéza mastných kyselin, fosfolipasy
6. **Citrátový cyklus**
7. **Respirační et zec**
8. Test 2
9. **Fotosyntéza**
10. Bioenergetika **redoxních reakcí**
11. Metabolismus **bílkovin a aminokyselin**, močovinový cyklus a metabolismus dusíku. Biosyntéza aminokyselin.
12. Test 3

Opravné termíny zápočtu

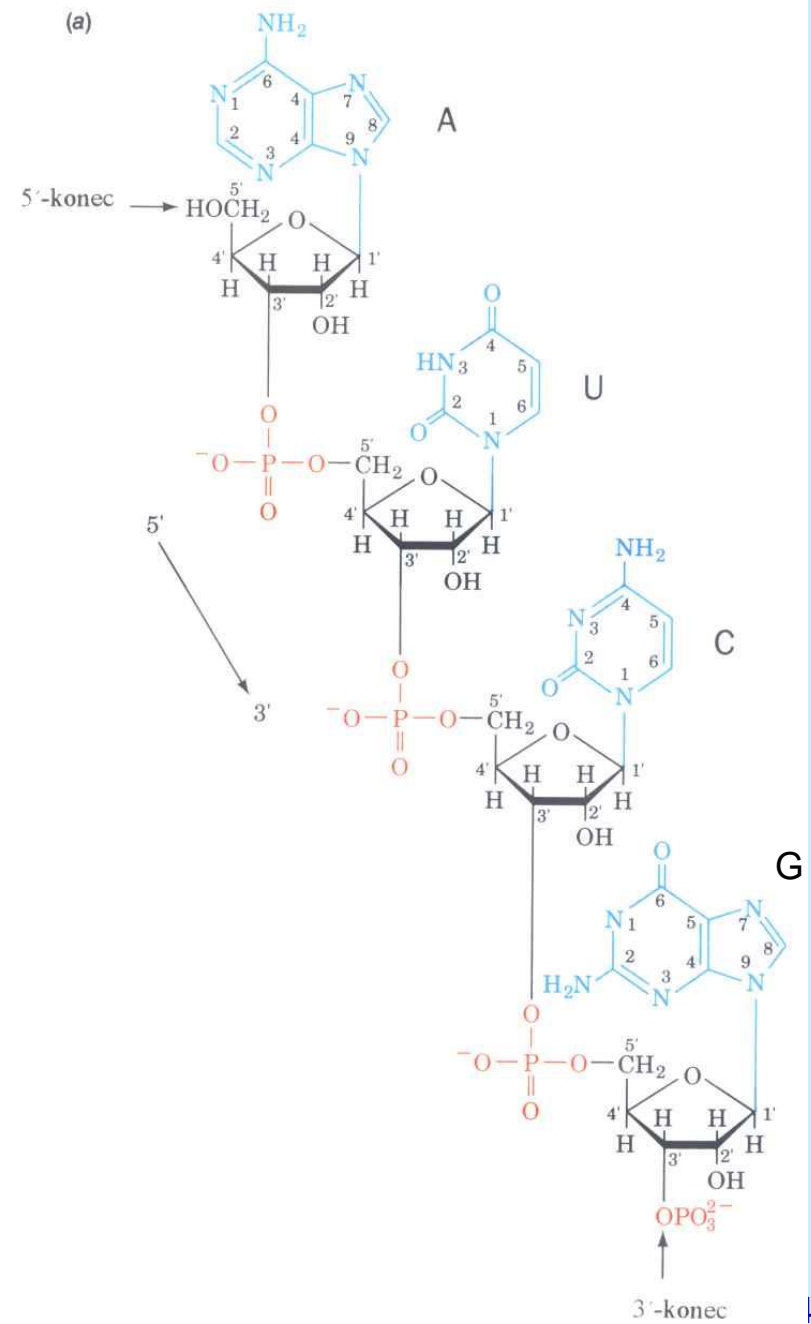
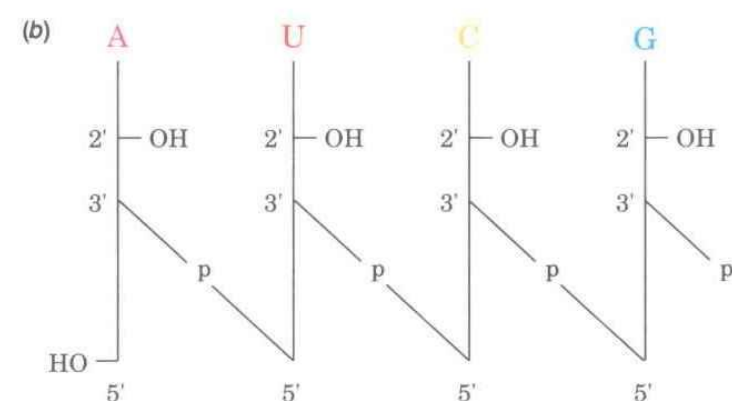
LITERATURA

Skripta Seminar 2.rtf Skripta Cvi ení z biochemie, V. Mikez
(IS: Studijní materiály/U ební materiály)
Biochemie II . seminá www.ppt

PODMÍNKY ZÍSKÁNÍ ZÁPO TU

- “ Účast ve výuce: max. 1 neomluvená absence (více absencí: jen nemoc . léka ské potvrzení, eží se individuáln)
- “ Testy (3), min. 50% z celkového počtu bod => zápočet v následném termínu
- “ Souhrnný test z účasti celého semestru => zápočet v 1. (2.) opravném termínu

PRIMÁRNÍ STRUKTURA NUKLEOVÝCH KYSELIN



MAXAM-GILBERTOVA METODA SEKVENOVÁNÍ NUKLEOVÝCH KYSELIN

Provede se zt pení p ed:

G (DMS/ ΔT)

G+A ($H^+/\Delta T$)

C (hydrazin, 5M NaCl)

C+T (hydrazin)

P íklad:

5' 3'
³²P-TGTAGGAGCT

¥t pení p ed G (DMS/ ΔT) vede ke vzniku fragment :

³²P-TGTAGGAGCT

³²P-TGTAGGAGCT

³²P-TGTAGGAGCT

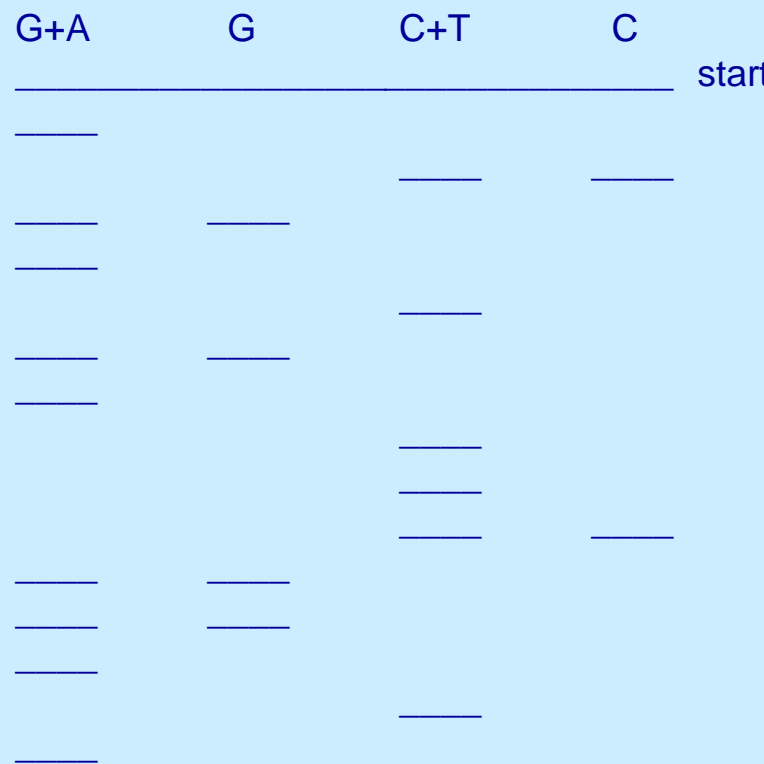
³²P-TGTAGGAGCT

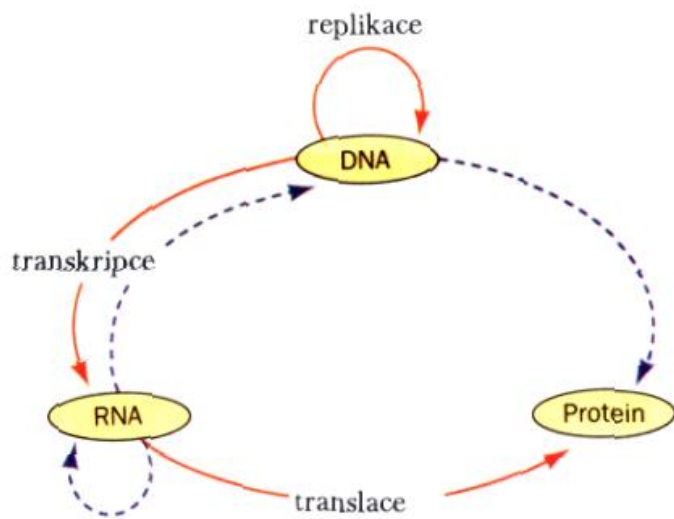
K jiným soubor m fragment povedou zt pení p ed G+A, p ed C a p ed C+T.

MAXAM-GILBERTOVA METODA SEKVENOVÁNÍ NUKLEOVÝCH KYSELIN

**DETEKCE FRAGMENTŮ SEPAROVANÝCH ELEKTROFORÉZOU
NA FOSFOIMAGERU**

(detekce radioaktivity - vizualizovány jsou pouze ^{32}P značené fragmenty)





Obr. 29-1

Ústřední dogma molekulární biologie. Plné červené šipky označují typy přenosu genetické informace, probíhajícího v buňce. Speciální přenosy jsou označeny přerušovanými šipkami: RNA-polymerasa, řízená RNA, je přítomna v jistých virech i v některých rostlinách (kde má neznámou funkci); DNA-polymerasa, řízená RNA (reverzní transkriptasa), se vyskytuje v některých RNA-virech; a DNA přímo určující protein není známa, ale zdá se, že její existence není zcela nereálná. K přenosu informace v jiných než vyznačených směrech, tzn. protein určující DNA nebo RNA, však nedochází. Jinými slovy, *protein* jsou pouze příjemci genetické informace.

CHEMICKÁ MUTAGENEZE

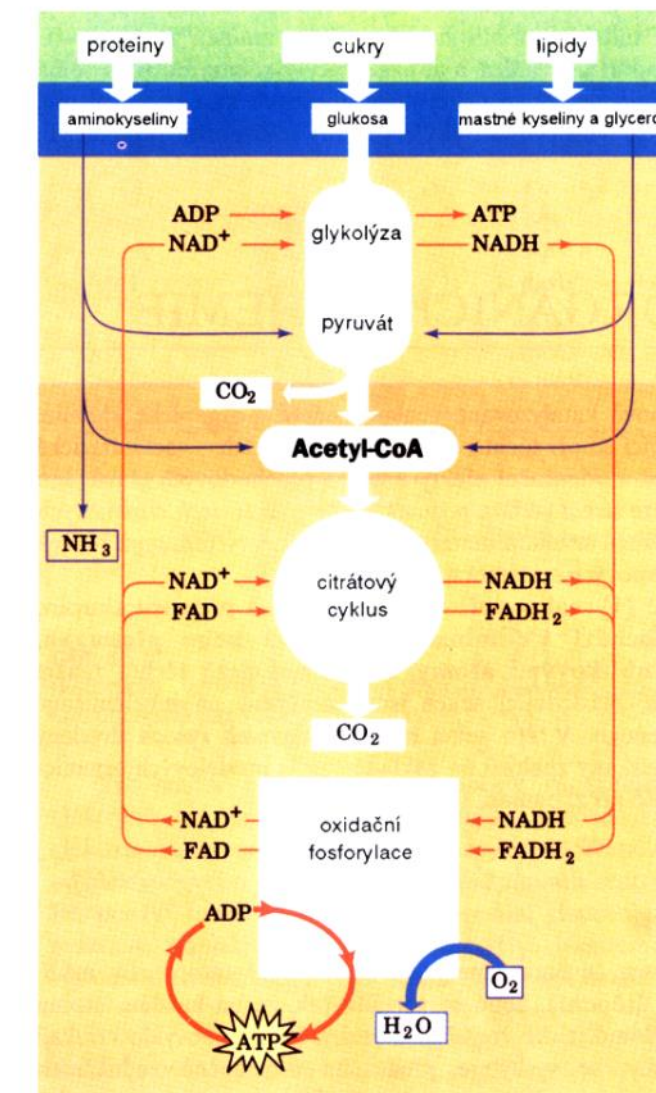
Tripletní charakter genetického kódu byl, objasněn užitím **chemických mutagenů**, které indukují mutace. Před vlastním studiem genetického kódu probereme nejprve tyto látky. Existují dvě hlavní třídy mutací:

1. **Bodové mutace**, při kterých je jeden pár bází nahrazen druhým. Tyto mutace je dále možno rozdělit na:
 - a) **Přechody** (transitions), při kterých je purinová báze nahrazena opět purinem a pyrimidinová báze pyrimidinem.
 - b) **Přesmyky** (transversions), při kterých je purinová báze nahrazena pyrimidinovou a pyrimidinová purinovou.
2. **Inzerčně-deleční mutace**, při kterých dojde k vypadnutí (deleci) nebo vložení (inzerci) jednoho nebo více párů bází ze sekvence DNA.

GENETICKÝ KÓD mRNA U PROKARYOT

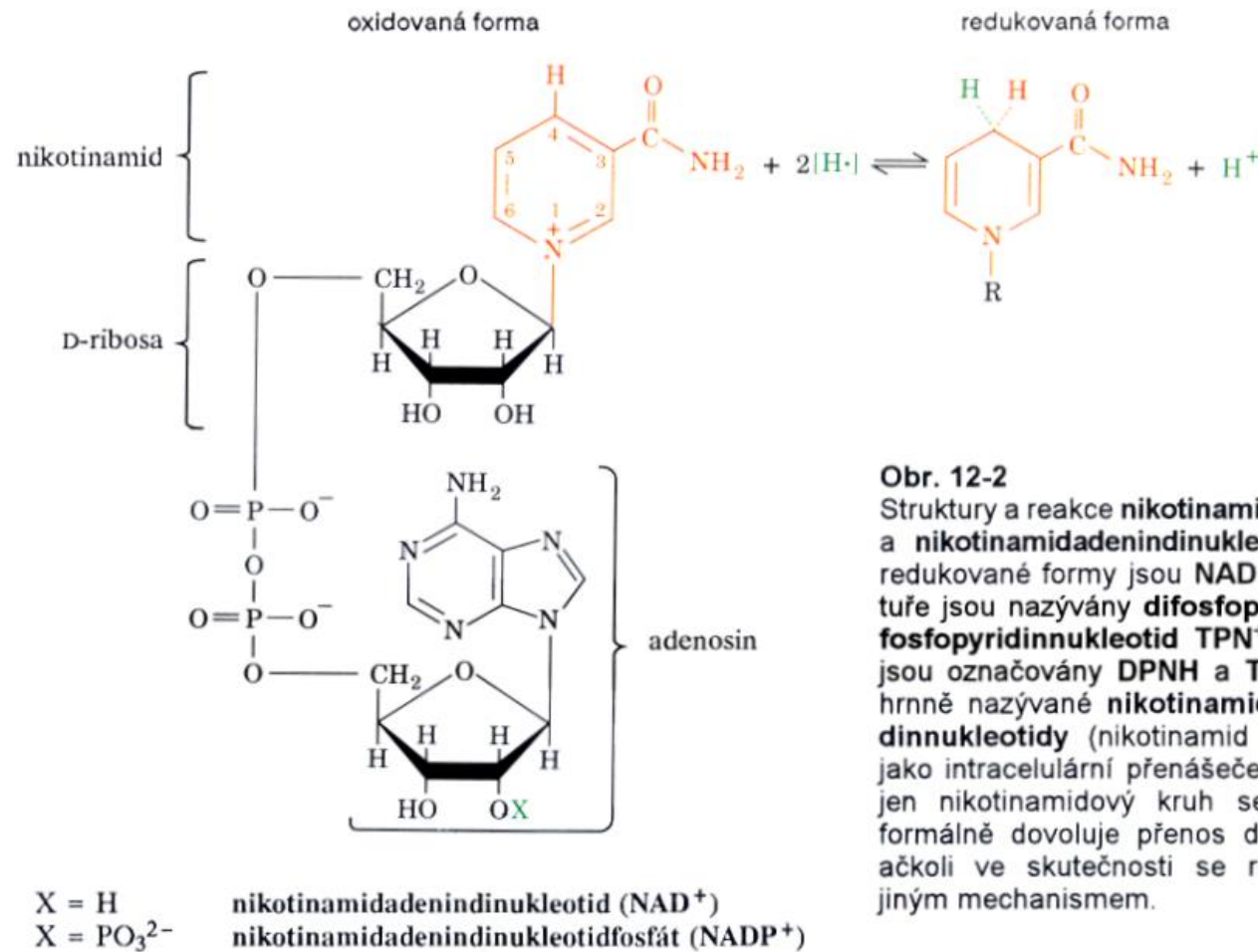
UUU	Phe	UCU	Ser	UAU	Tyr	UGU	Cys
UUC		UCC		UAC		UGC	
UUA	Leu	UCA	Ser	UAA	STOP	UGA	STOP
UUG		UCG		UAG		UGG	Trp
CUU	Leu	CCU	Pro	CAU	His	CGU	Arg
CUC		CCC		CAC		CGC	
CUA	Leu	CCA	Pro	CAA	Gln	CGA	Arg
CUG		CCG		CAG		CGG	
AUU	Ile	ACU	Thr	AAU	Ash	AGU	Ser
AUC		ACC		AAC		AGC	
AUA	Ile	ACA	Thr	AAA	Lys	AGA	Arg
AUG	Met	ACG		AAG		AGG	
GUU	Val	GCU	Ala	GAU	Asp	GGU	Gly
GUC		GCC		GAC		GGC	
GUA	Val	GCA	Ala	GAA	Glu	GGA	Gly
GUG		GCG		GAG		GGG	

Přehled aerobního metabolismu



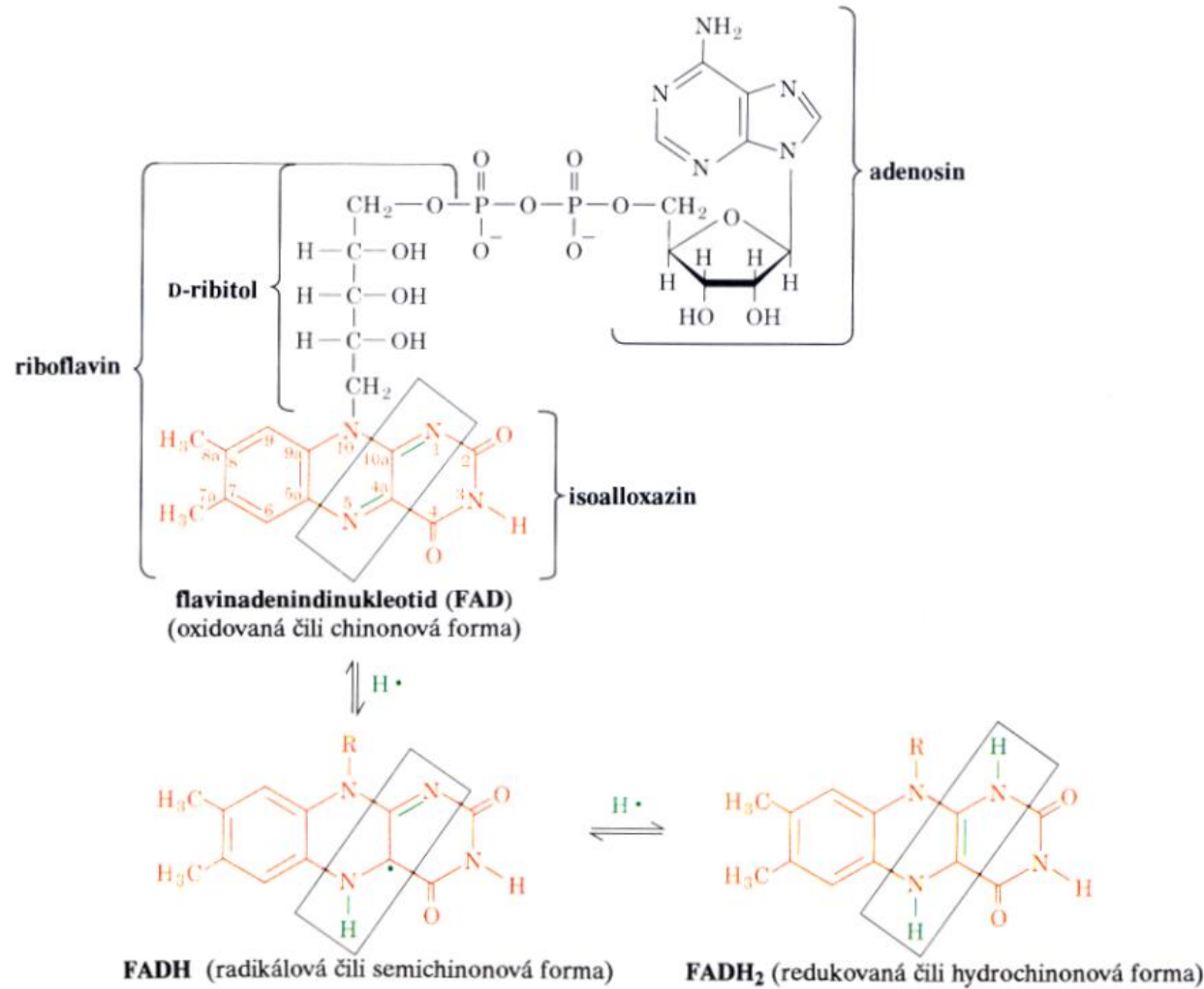
Obr. 15-3

Složité metabolity, jako jsou sacharidy, lipidy a proteiny, jsou nejprve degradovány na své monomerní jednotky, hlavně glukosu, mastné kyseliny a aminokyseliny, a dále na společný meziprodukt – acetyl-CoA. Acetylová skupina je poté oxidována kyslíkem na oxid uhličitý přes citrátový cyklus za současnou redukci NAD⁺ a FAD. Reoxidace těchto koenzymů přes řetězec přenosu elektronů a oxidační fosforylace vede ke vzniku vody a ATP.



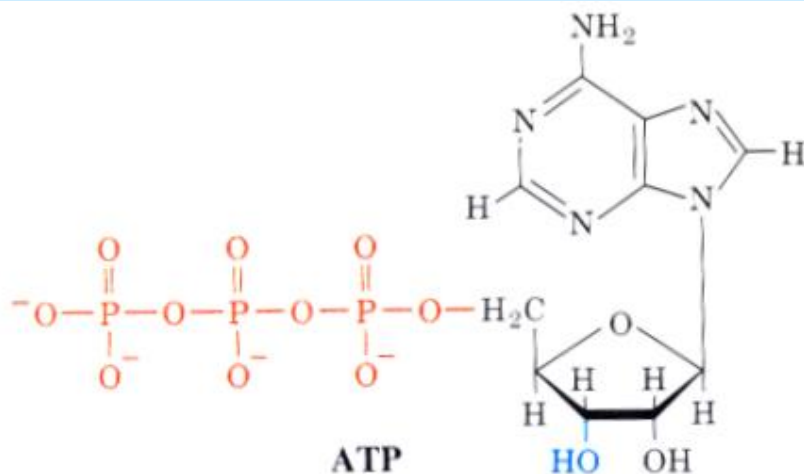
Obr. 12-2

Struktury a reakce nikotinamidadenindinukleotidu (NAD^+) a nikotinamidadenindinukleotidfosfátu ($NADP^+$). Jejich redukované formy jsou $NADH$ a $NADPH$. (V starší literatuře jsou nazývány difosfopyridinnukleotid DPN^+ a trifosfopyridinnukleotid TPN^+ a jejich redukované formy jsou označovány $DPNH$ a $TPNH$.) Tyto sloučeniny souhrnně nazývané nikotinamidové koenzymy nebo pyridinnukleotidy (nikotinamid je derivát pyridinu) působí jako intracelulární přenášeče elektronů. Všimněme si, že jen nikotinamidový kruh se v reakci mění. Redukce formálně dovoluje přenos dvou vodíkových atomů (H^-) ačkoli ve skutečnosti se redukce může uskutečňovat jiným mechanismem.

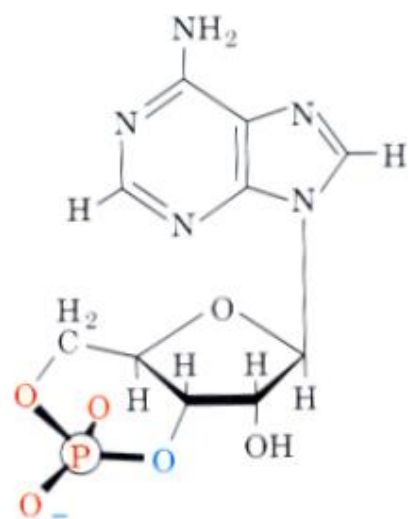


Obr. 14-27

Molekulový vzorec a reakce koenzymu flavinadenindinukleotidu (FAD). Termín "flavin" je totožný s isoalloxazinovým kruhovým systémem. Zbytek D-ribitolu je odvozen od cukru D-ribosy. FAD může být napůl redukován na stabilní radikál FADH[·] nebo plně redukován na FADH₂ (obdělníky). Proto každý enzym obsahující FAD se pohybuje mezi dvěma oxidačními stavy FAD. FAD je většinou pevně vázán na své enzymy tak, že tento koenzym je normálně spíše prostetickou skupinou než kosubstrátem, jak je tomu např. v případě NAD⁺.

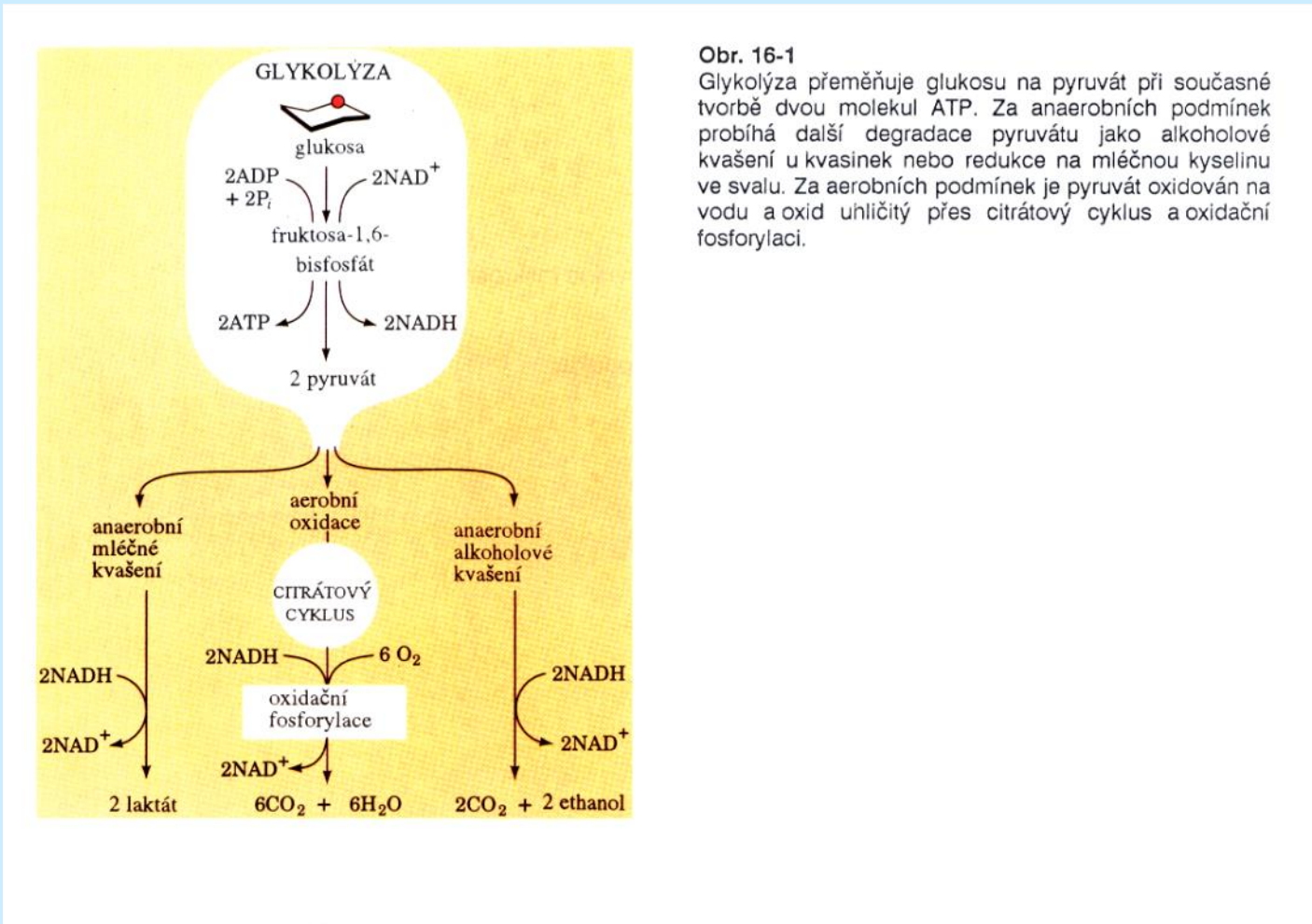


adenylátcyklasa
PP_i ↘

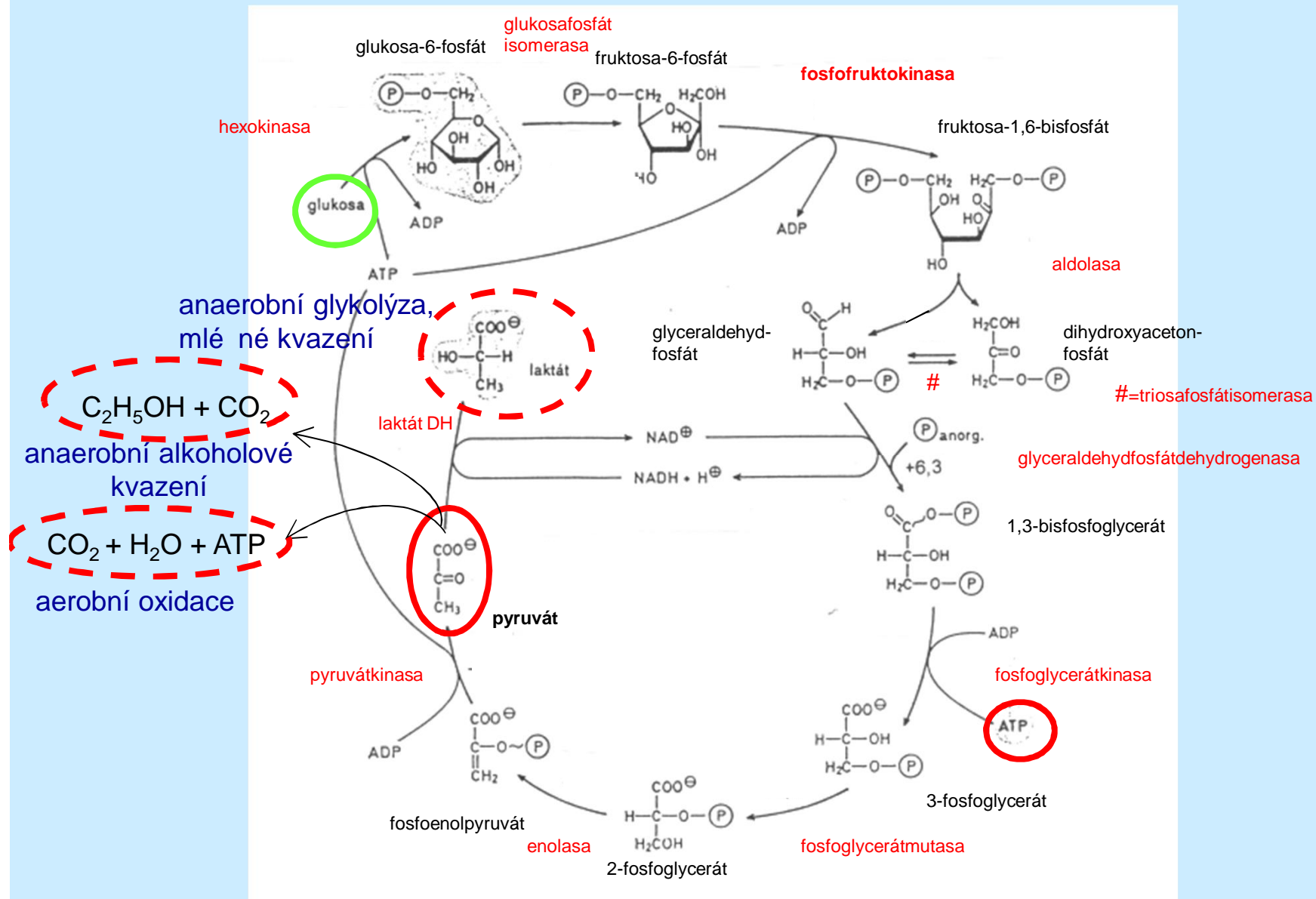


3',5'-cyklický AMP

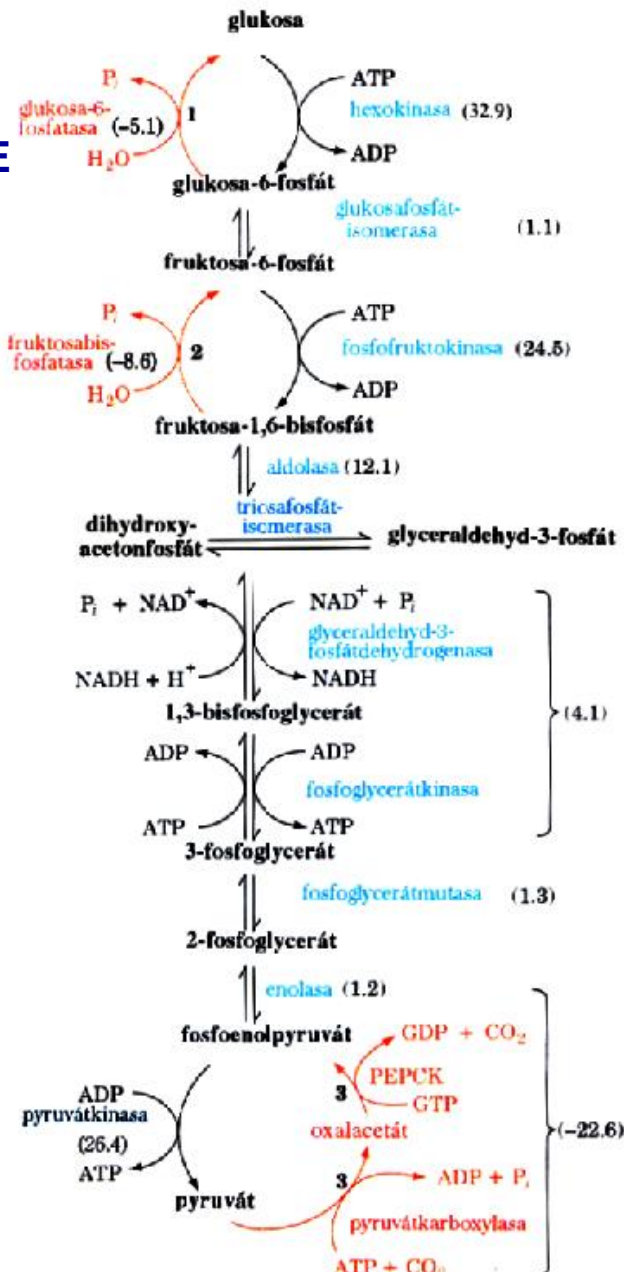
GLYKOLÝZA Ř VARIANTY A BILANCE



GLYKOLÝZA ŘEP B H



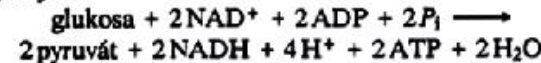
GLYKOLÝZA VS. GLUKONEOGENEZE



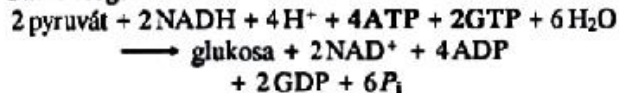
Obr. 21-7

Dráhy glukoneogeneze a glykolýzy. Tři očíslované kroky, které jsou v glukoneogenezi katalyzovány odlišnými enzymy, jsou označeny červenými čírkami. Změny Gibbsovy volné energie reakcí ve směru glukoneogeneze za fyziologických podmínek v játrech jsou uvedeny v závorkách v kJ/mol.

Glykolýza:



Glukoneogeneze:

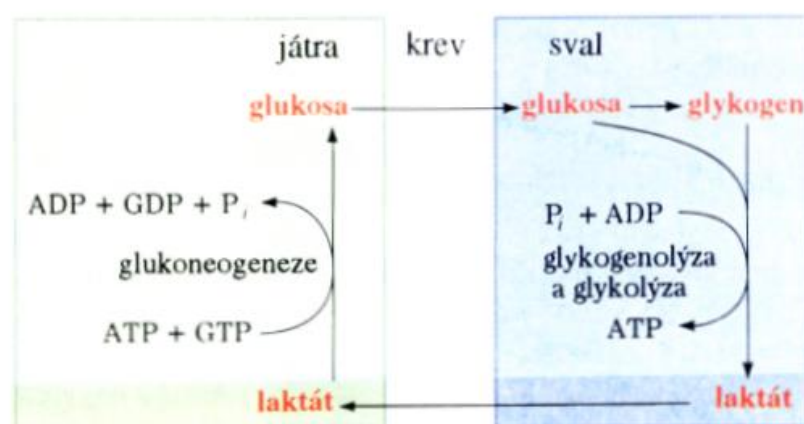


Celkově:



Takové ztráty volné energie v cyklickém procesu jsou termodynamicky nevyhnutelné. Jsou energetickou cenou, která musí být zaplacena za udržení nezávislé regulace obou drah.

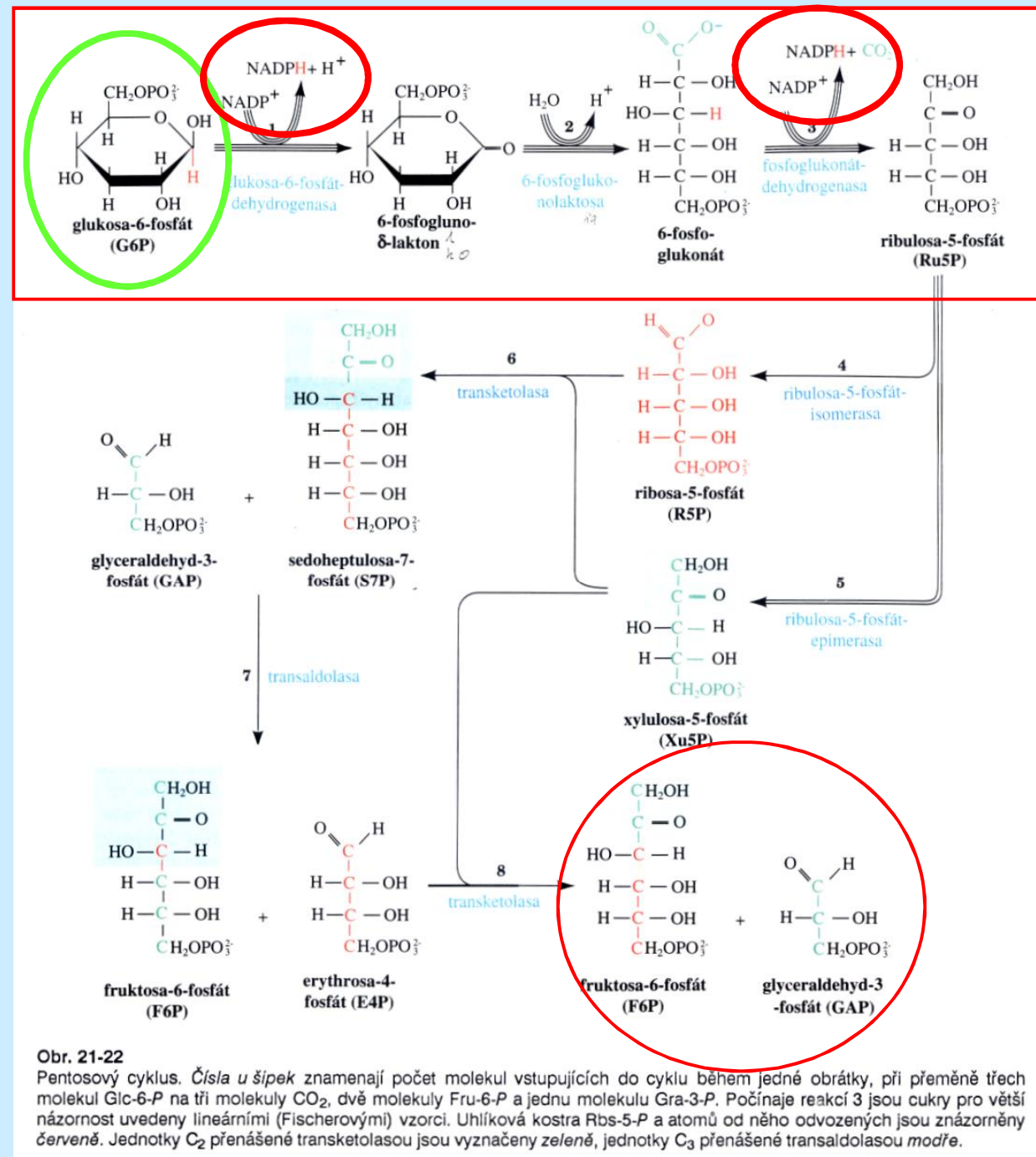
CORIHO CYKLUS



Obr. 21-9

Coriho cyklus. Laktát vznikající glykolýzou ve svalu je transportován krevním řečištěm do jater, kde je přeměněn v glukoneogenezi na glukosu. Ta se vrací krevním řečištěm zpět do svalu, kde může být uskladněna v podobě glykogenu.

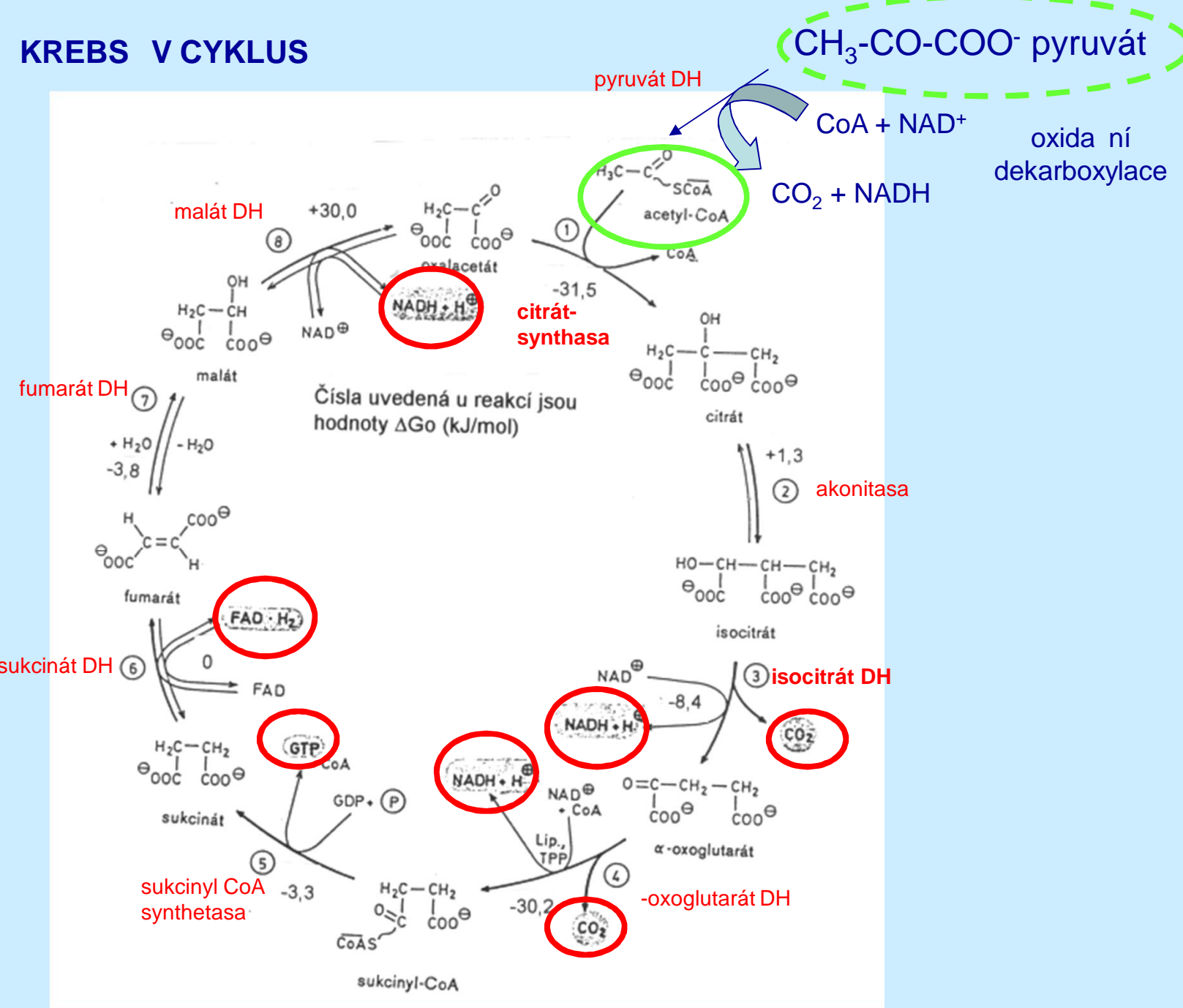
PENTOSOVÝ CYKLUS



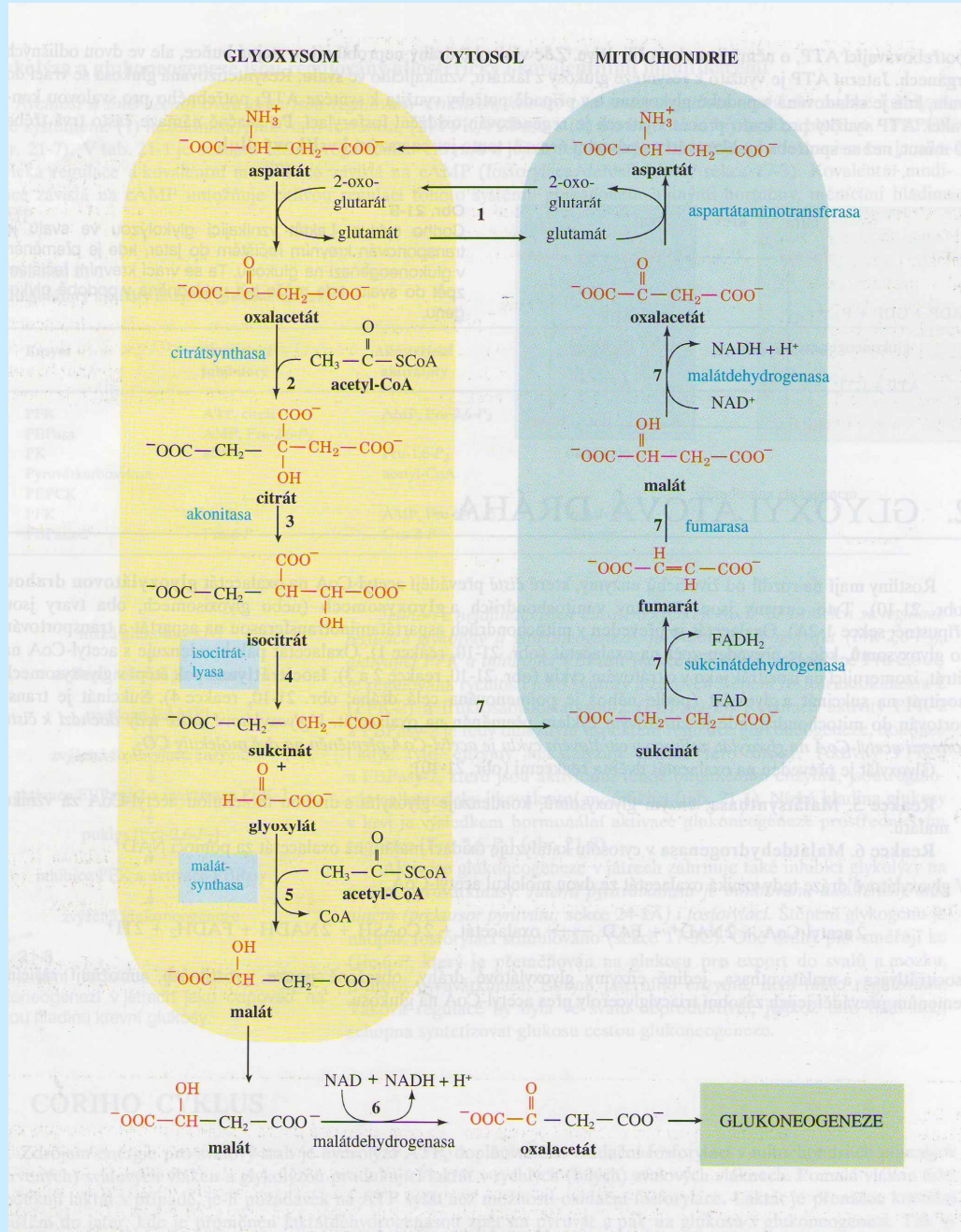
Obr. 21-22

Pentosový cyklus. Čísla u šipek znamenají počet molekul vstupujících do cyklu během jedné obrátky, při přeměně třech molekul Glc-6-P na tři molekuly CO₂, dvě molekuly Fru-6-P a jednu molekulu Gra-3-P. Počínaje reakcí 3 jsou cukry pro větší názornost uvedeny lineárními (Fischerovými) vzorce. Uhlíková kostra Rbs-5-P a atomů od něho odvozených jsou znázorněny červeně. Jednotky C₂ přenášené transketolasou jsou vyznačeny zeleně, jednotky C₃ přenášené transaldolasou modře.

KREBS V CYKLUS



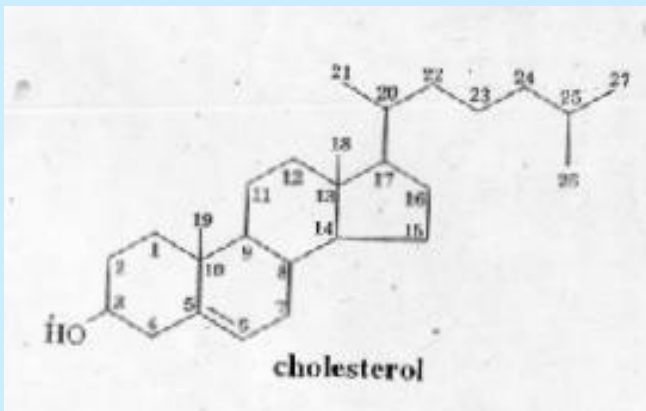
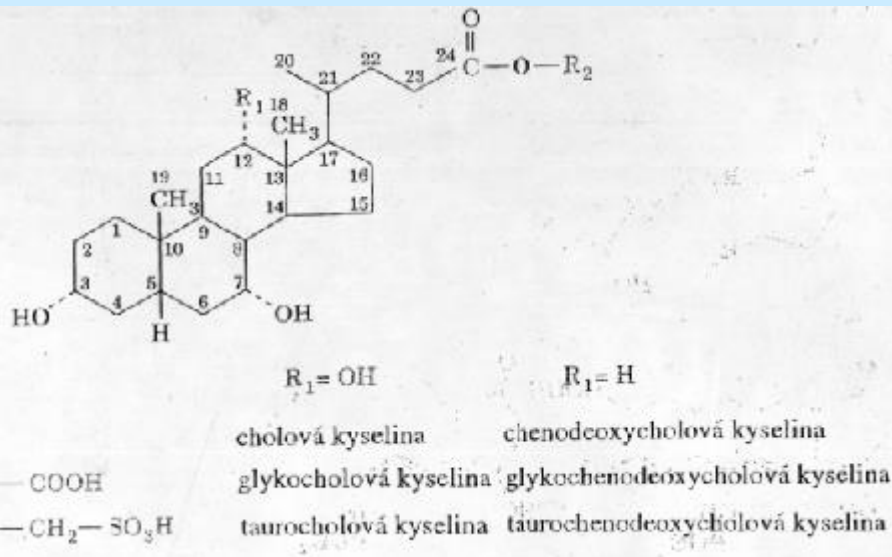
GLYOXYLÁTOVÁ DRÁHA



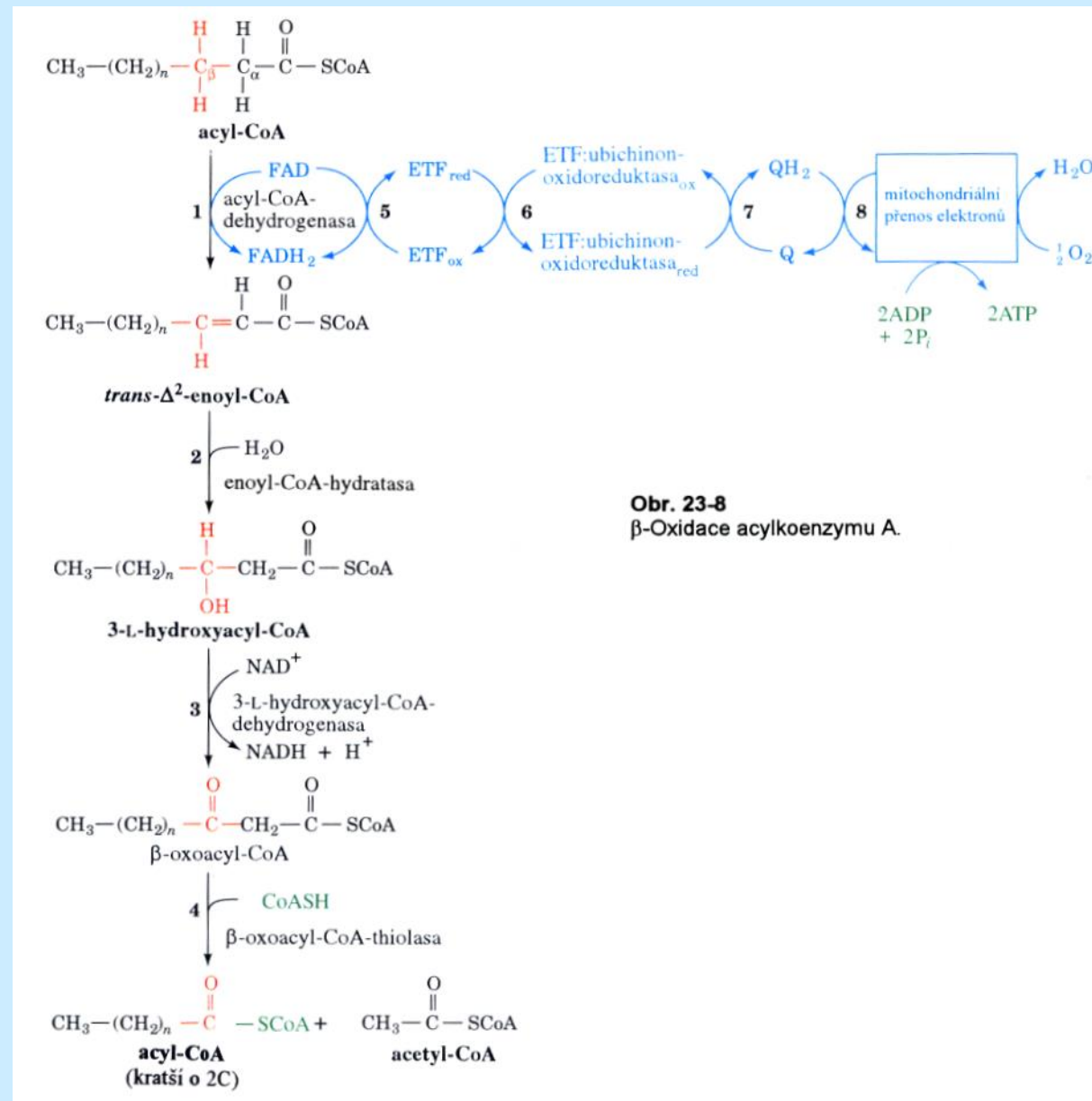
pLU OVÉ KYSELINY A CHOLESTEROL

Obr. 23-52

Struktura hlavních žlučových kyselin a jejich konjugátů s glycinem a s taurinem.

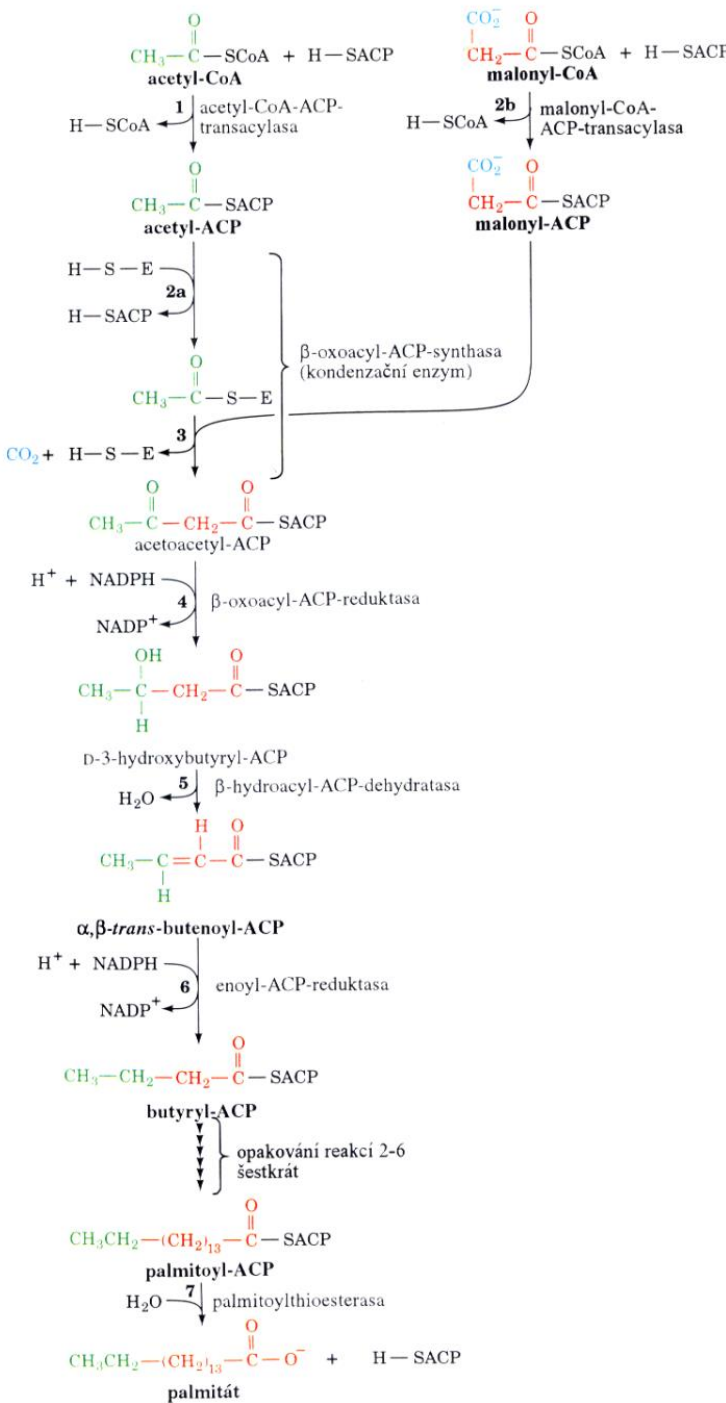


-OXIDACE MASTNÝCH KYSELIN



Obr. 23-8
 β -Oxidace acylkoenzymu A.

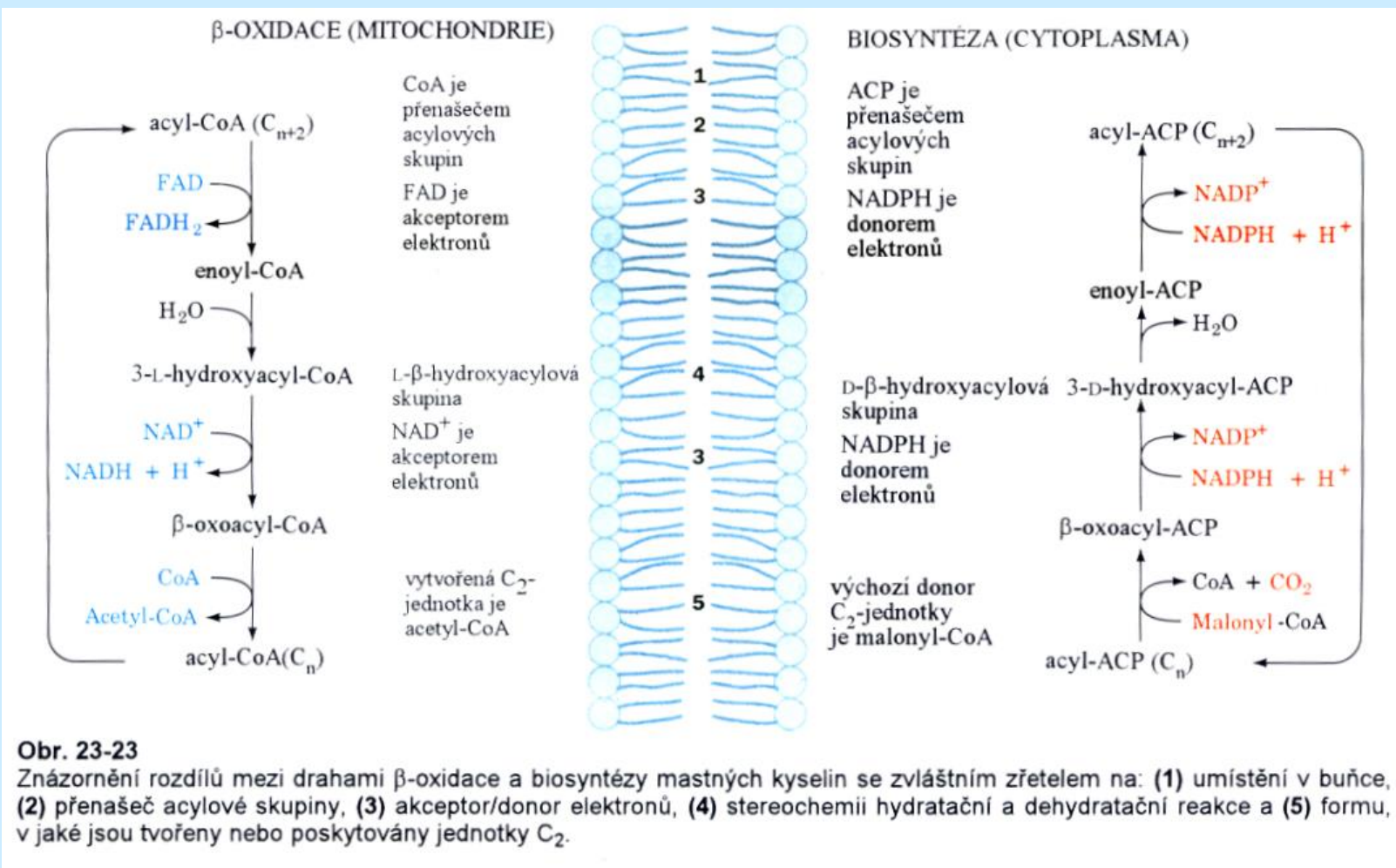
BIOSYNTÉZA MASTNÝCH KYSELIN



Obr. 23-26

Pořadí reakcí při biosyntéze mastných kyselin. Při tvorbě palmitátu se opakuje sedm cyklů prodloužení řetězce o C_2 , načež následuje finální hydrolytický krok.

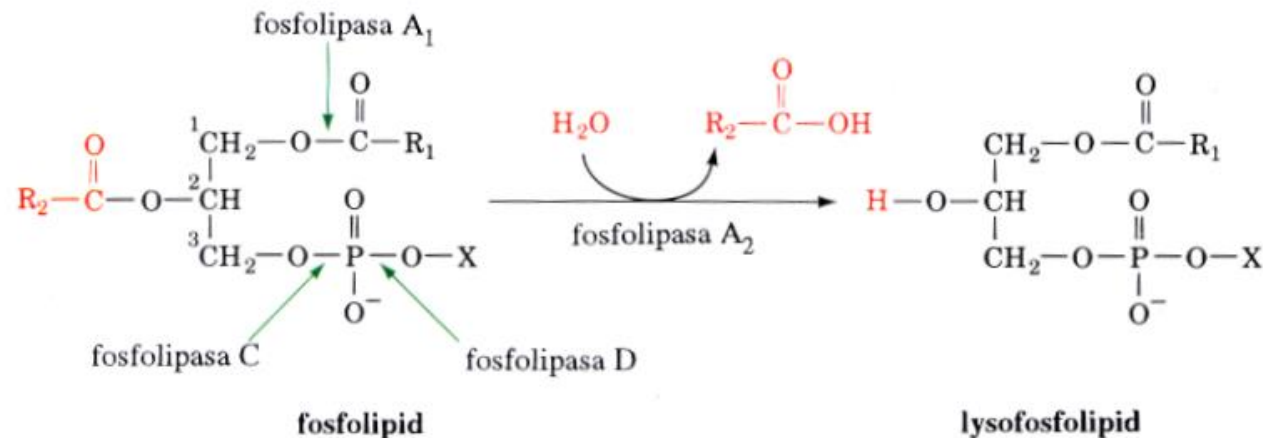
ROZDÍLY MEZI β -OXIDACÍ A BIOSYNTÉZOU MASTNÝCH KYSELIN



Obr. 23-23

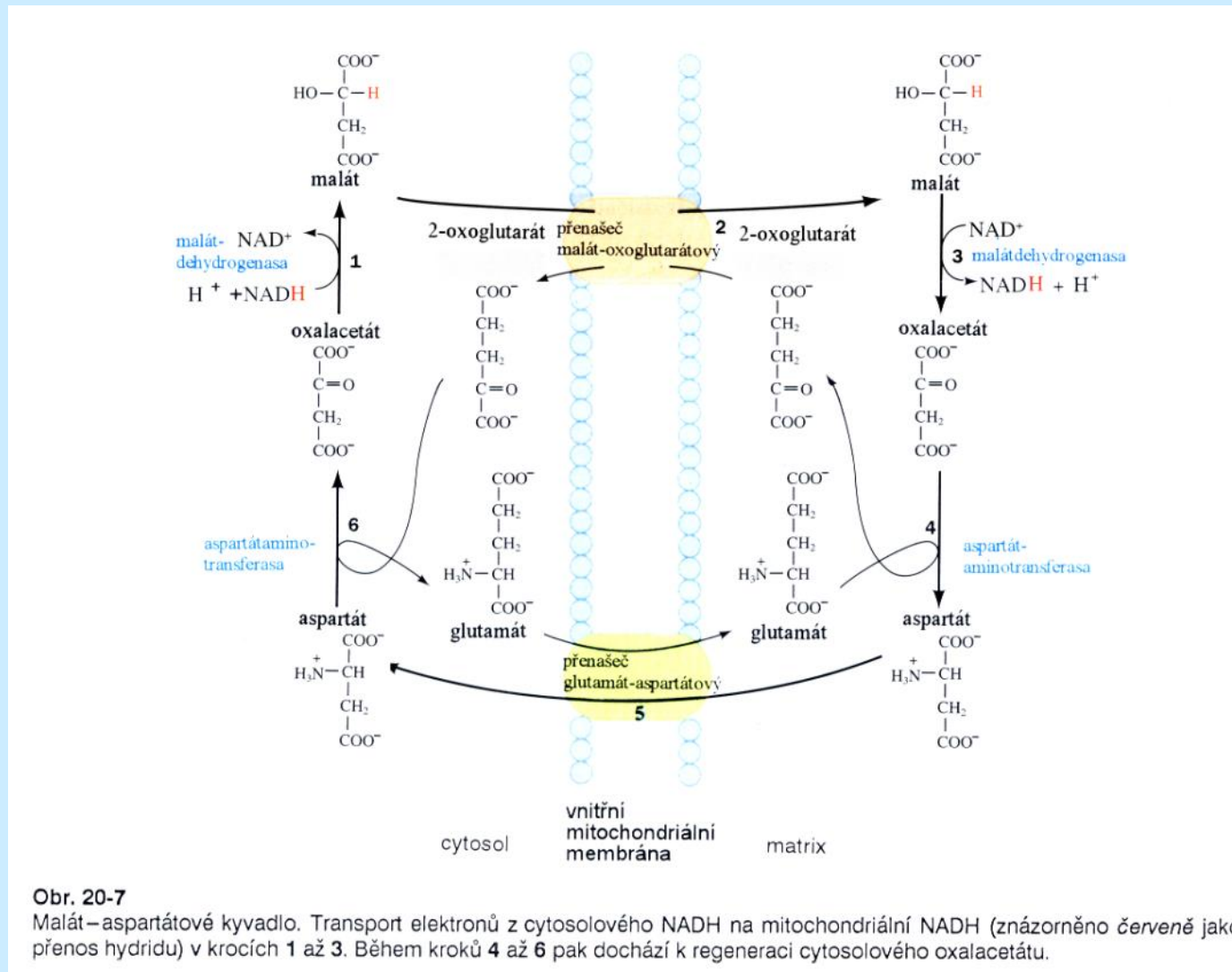
Znázornění rozdílu mezi drahami β -oxidace a biosyntézy mastných kyselin se zvláštním zřetelem na: (1) umístění v buňce, (2) přenašeč acylové skupiny, (3) akceptor/donor elektronů, (4) stereochemii hydratační a dehydratační reakce a (5) formu, v jaké jsou tvořeny nebo poskytovány jednotky C₂.

ÜT P NÍ FOSFOLIPID : FOSFOLIPASY



Obr. 23-1
Fosfolipasa A₂ hydrolyticky odštěpuje C₍₂₎-zbytek mastné kyseliny z triacylglycerolu za vzniku odpovídajícího lysofospholipidu. Jsou vyznačeny také vazby hydrolyzované jinými typy fosfolipas, které jsou nazývány podle jejich účinků.

TRANSPORT ELEKTRONŮ DO MITOCHONDRIÁLNÍ MATRIX

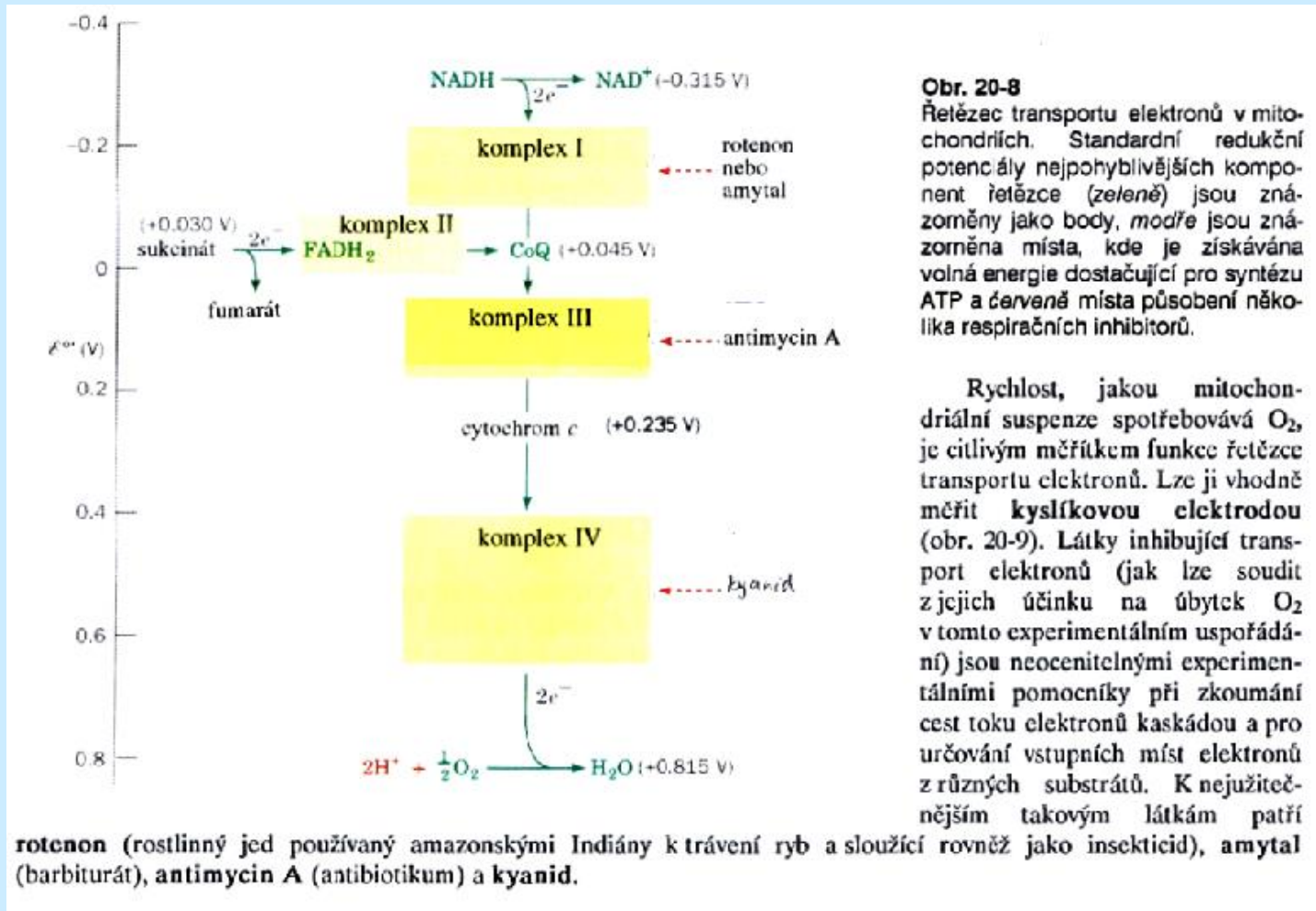


Obr. 20-7

Malát-aspartátové kyvadlo. Transport elektronů z cytosolového NADH na mitochondriální NADH (znázorněno červeně jako přenos hydridu) v krocích 1 až 3. Během kroků 4 až 6 pak dochází k regeneraci cytosolového oxalacetátu.

Respira ní et zec

RESPIRA NÍ ET ZEC



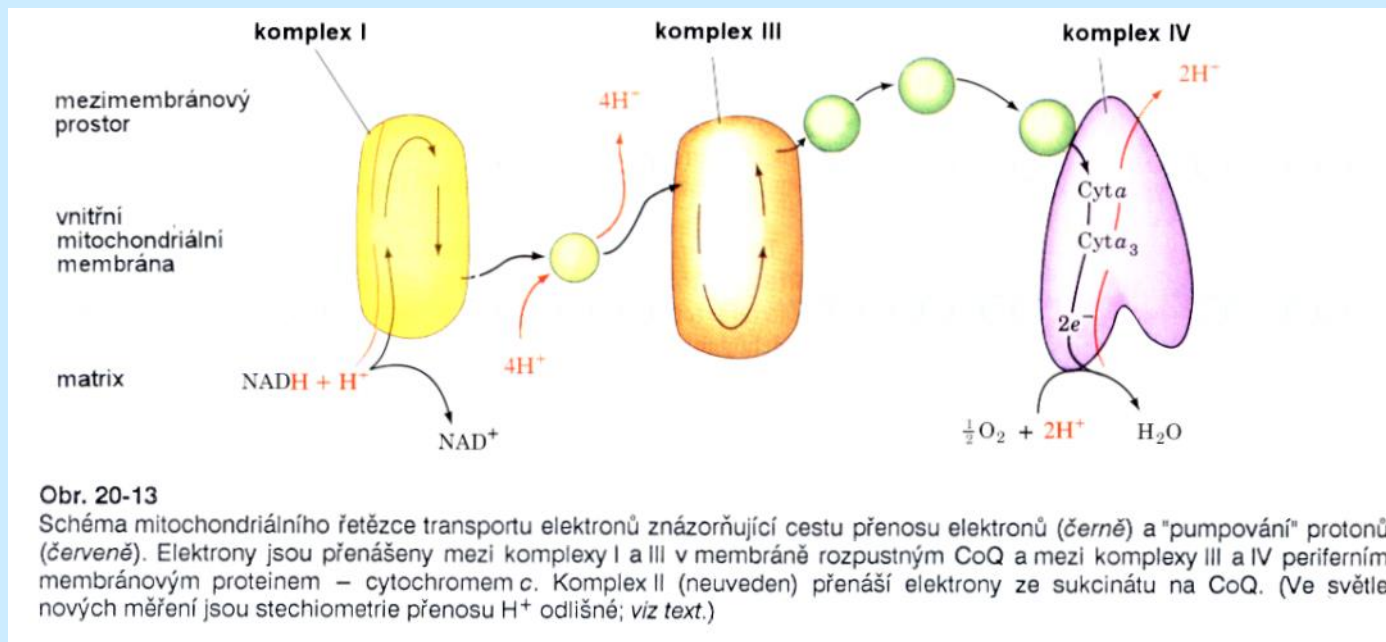
Obr. 20-8

Řetězec transportu elektronů v mitochondriích. Standardní redukční potenciály nejlehcejších komponent řetězce (zelené) jsou znázorněny jako body, modré jsou znázorněna místa, kde je získávána volná energie dostačující pro syntézu ATP a červená místa působení několika respiračních inhibitorů.

Rychlosť, jakou mitochondriální suspenze spotřebuje O_2 , je citlivým měřítkem funkce řetězce transportu elektronů. Lze ji vhodně měřit **kyslíkovou elektrodou** (obr. 20-9). Látky inhibující transport elektronů (jak lze soudit z jejich účinku na úbytek O_2 v tomto experimentálním uspořádání) jsou neocenitelnými experimentálními pomocníky při zkoumání cest toku elektronů kaskádou a pro určování vstupních míst elektronů z různých substrátů. K nejužitečnějším takovým látkám patří

Tvorba ATP probíhá za katalýzy ATPasy díky gradientu $[\text{H}^+]$, vytvořenému komplexy I, IV a CoQ

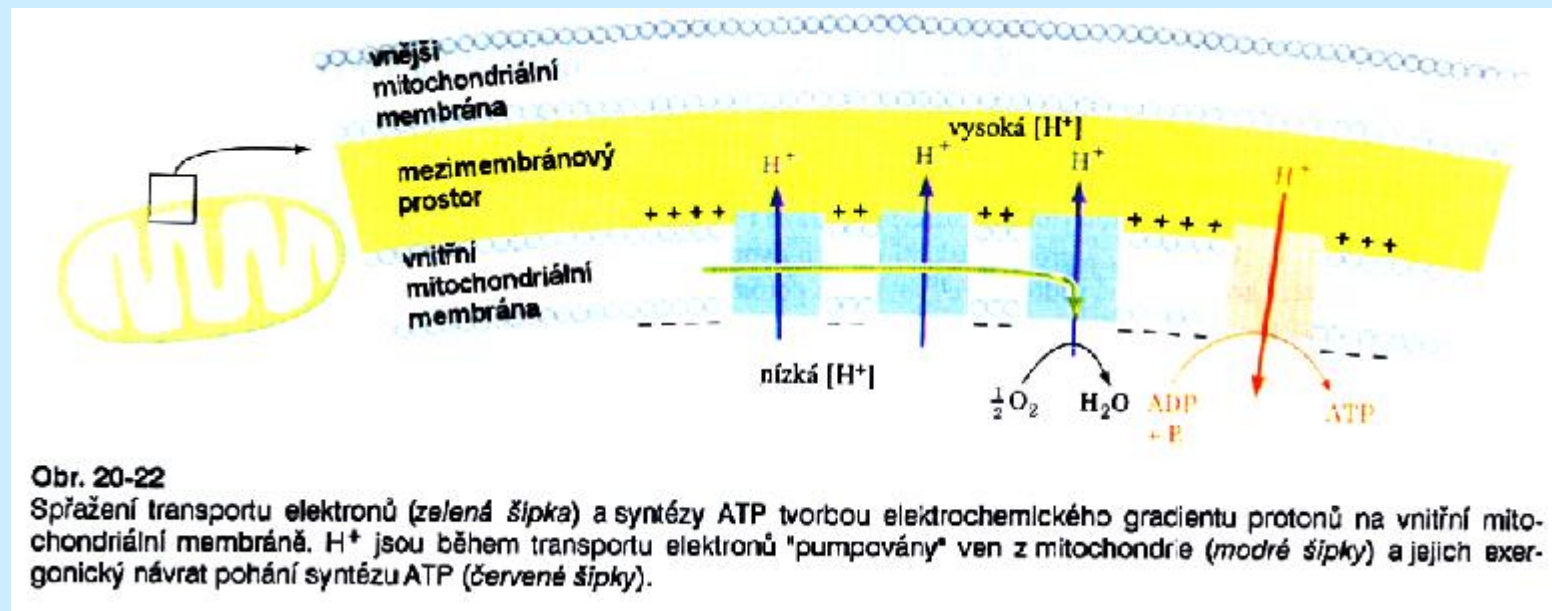
RESPIRA NÍ ET ZEC



Obr. 20-13

Schéma mitochondriálního řetězce transportu elektronů znázorňující cestu přenosu elektronů (černě) a "pumpování" protonů (červeně). Elektrony jsou přenášeny mezi komplexy I a III v membráně rozpustným CoQ a mezi komplexy III a IV periferním membránovým proteinem – cytochromem c. Komplex II (neuveden) přenáší elektrony ze sukcinátu na CoQ. (Ve světle nových měření jsou stechiometrie přenosu H⁺ odlišné; viz text.)

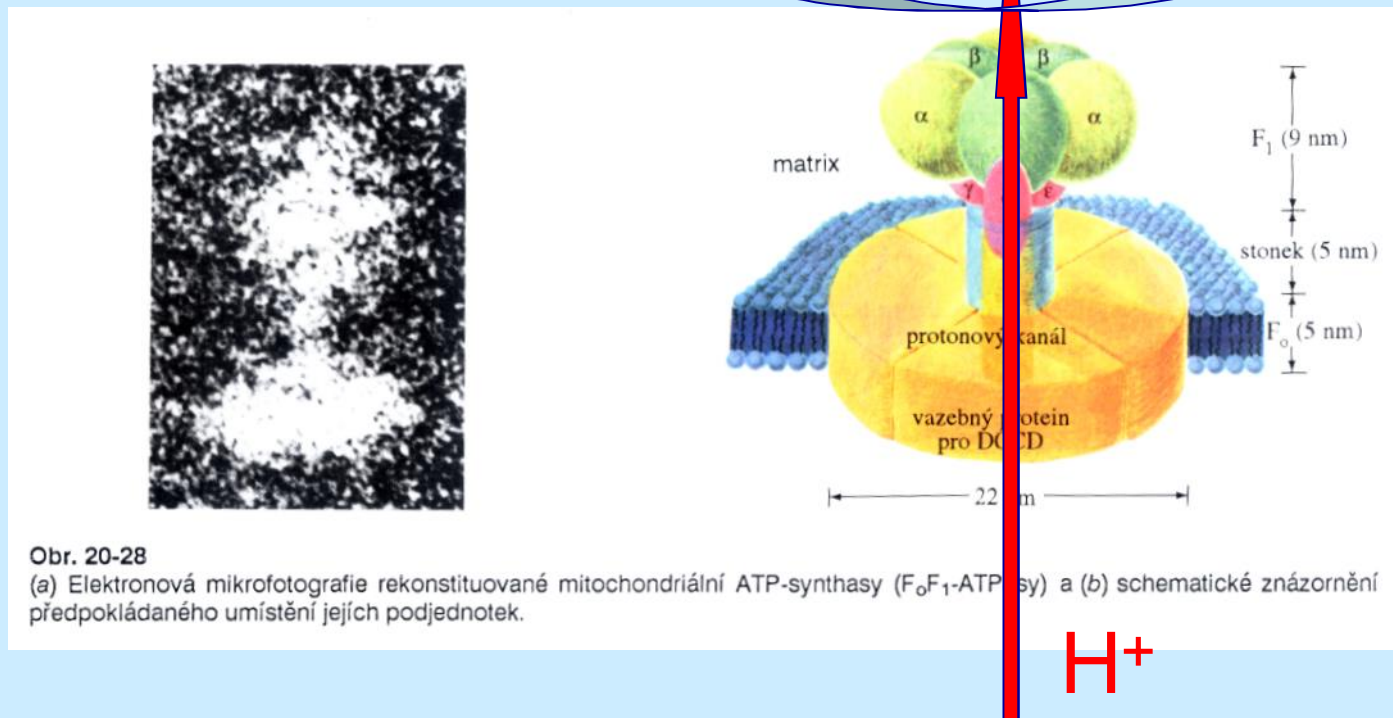
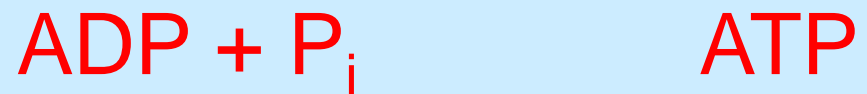
RESPIRA NÍ ET ZEC



Obr. 20-22

Spřažení transportu elektronů (zelená šipka) a syntézy ATP tvorbou elektrochemického gradientu protonů na vnitřní mitochondriální membráně. H^+ jsou během transportu elektronů "pumpovány" ven z mitochondrie (modré šipky) a jejich exergonický návrat pohání syntézu ATP (červené šipky).

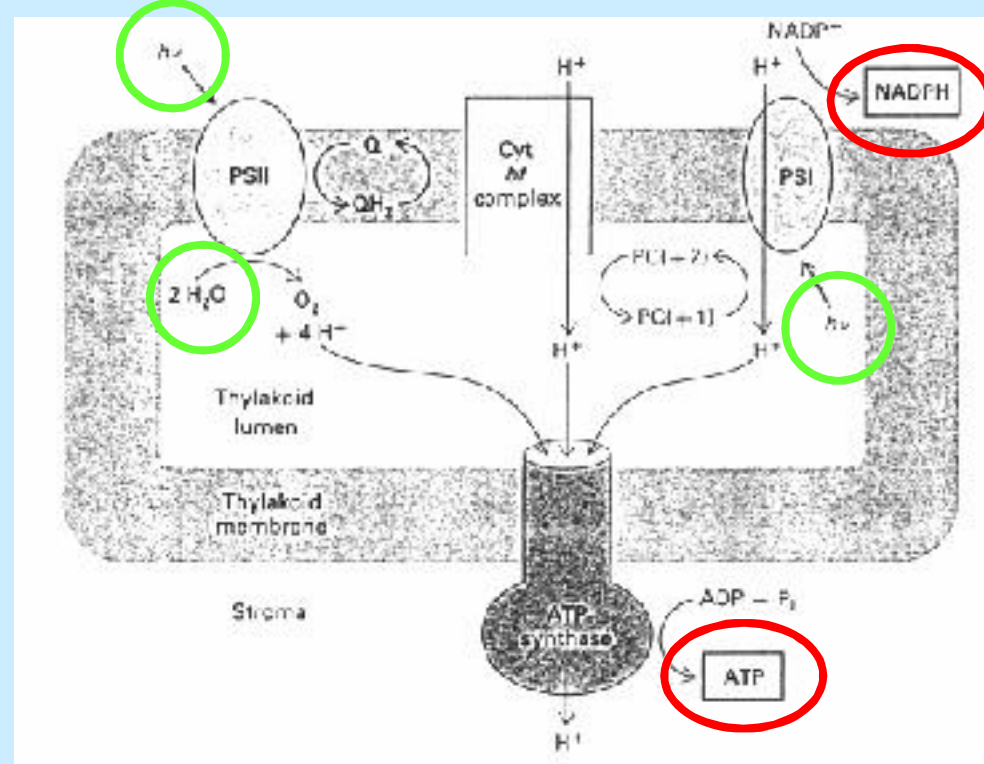
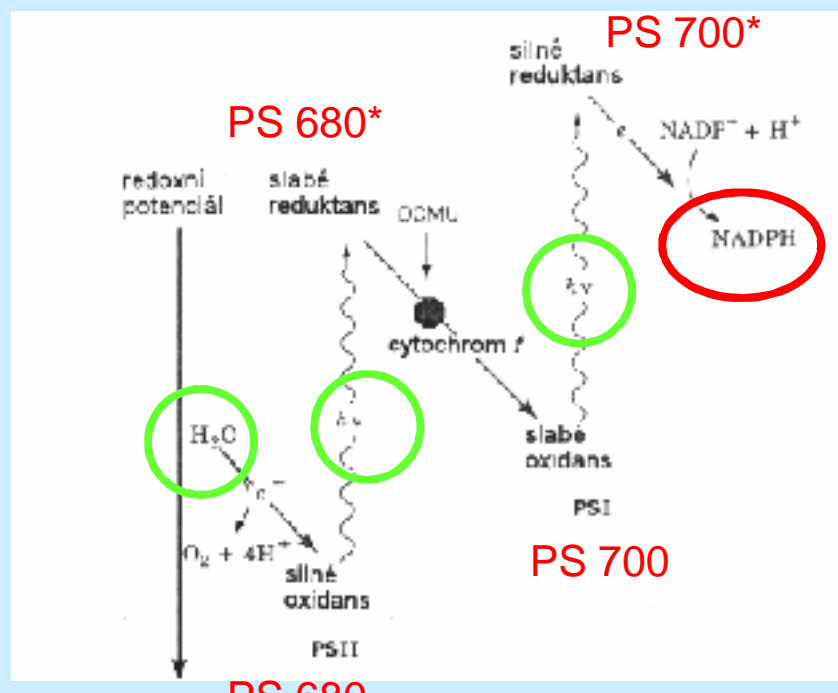
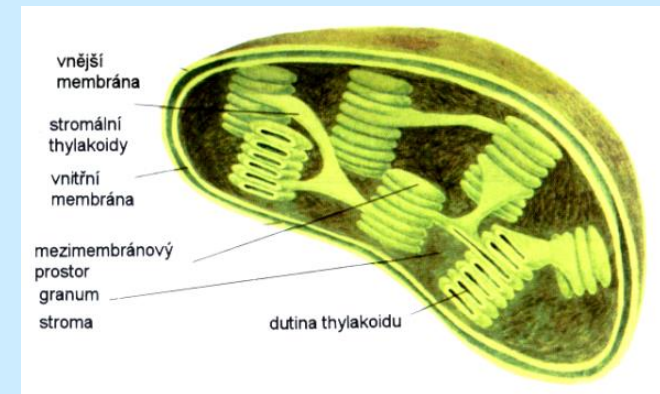
RESPIRA NÍ ET ZEC ĚTVORBA ATP



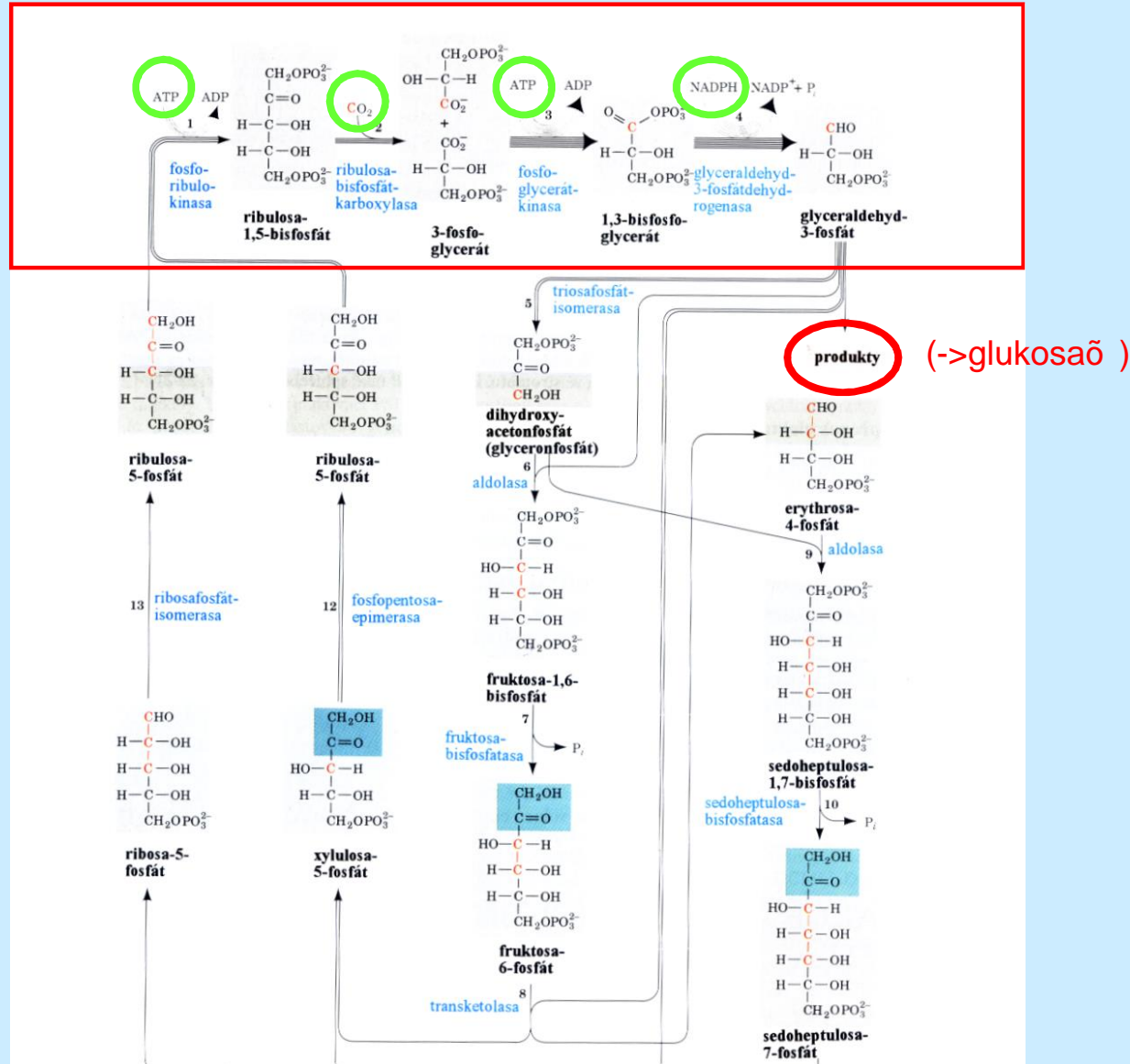
Obr. 20-28

(a) Elektronová mikrofotografie rekonstituované mitochondriální ATP-synthasy (F_0F_1 -ATP synthasy) a (b) schematické znázornění předpokládaného umístění jejích podjednotek.

FOTOSYNTÉZA: 1. SV TELNÁ FÁZE



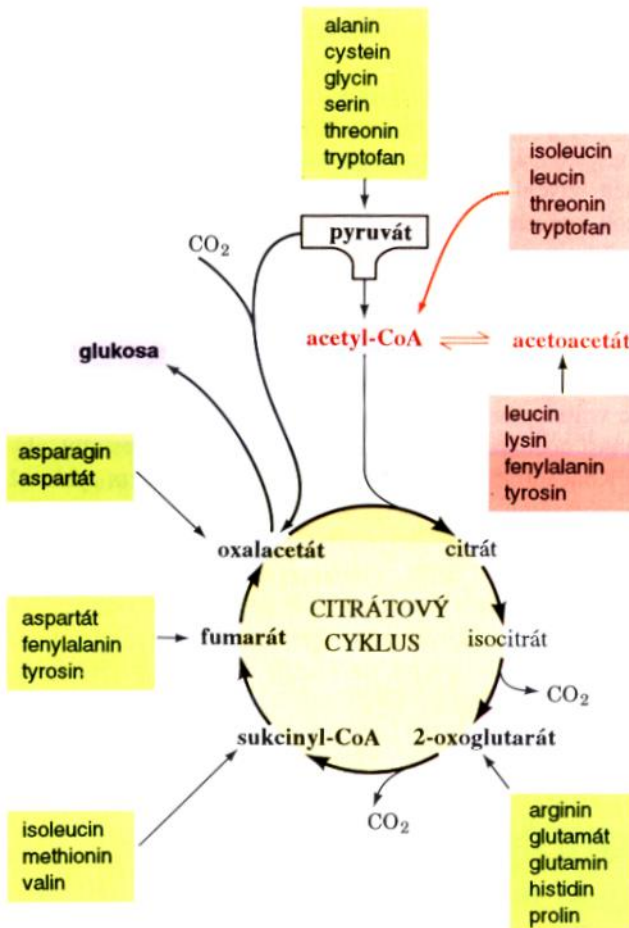
FOTOSYNTÉZA: 2. TEMNOSTNÍ FÁZE= CALVIN V CYKLUS (tvorba glukosy)



Obr. 22-23

Calvinův cyklus. Počet čar v jednotlivých šípkách udává, kolik molekul musí v daném kroku reagovat, aby se uskutečnila jedna úplná otočka cyklu, která ze tří molekul CO_2 vytvoří jednu molekulu Gra-3-P. Pro přehlednost jsou pro všechny cukry uvedeny lineární vzorce, i když hexosy a heptosy existují převážně v cyklických formách (sekce 10-1B). V polohách, jejichž uhlíky jsou vyznačeny červeně, bude ^{14}C po jedné otočce cyklu s $^{14}\text{CO}_2$ jako substrátem.

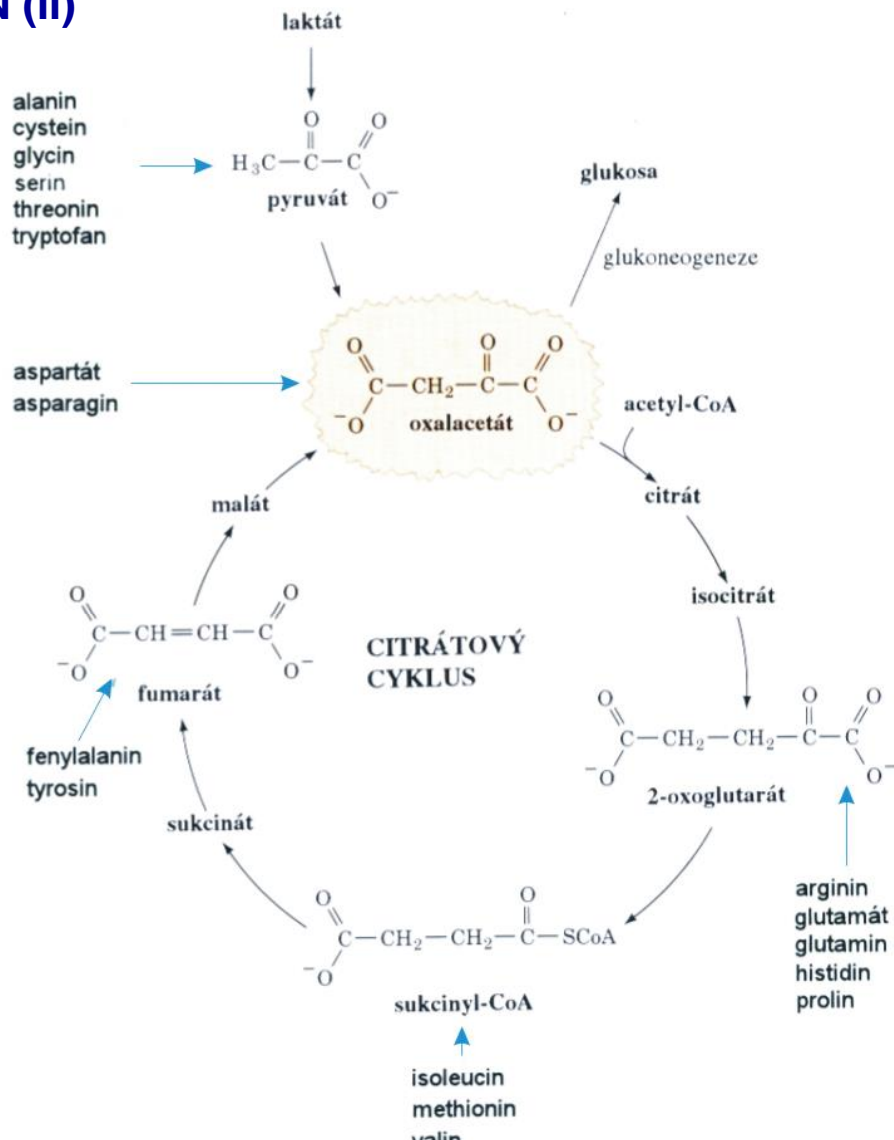
METABOLISMUS AMINOKYSELIN



Obr. 24-8

Aminokyseliny jsou degradovány na jeden ze sedmi obecných meziproduktů. Glukogenní degradace je vyznačena zeleně, ketogenní červeně.

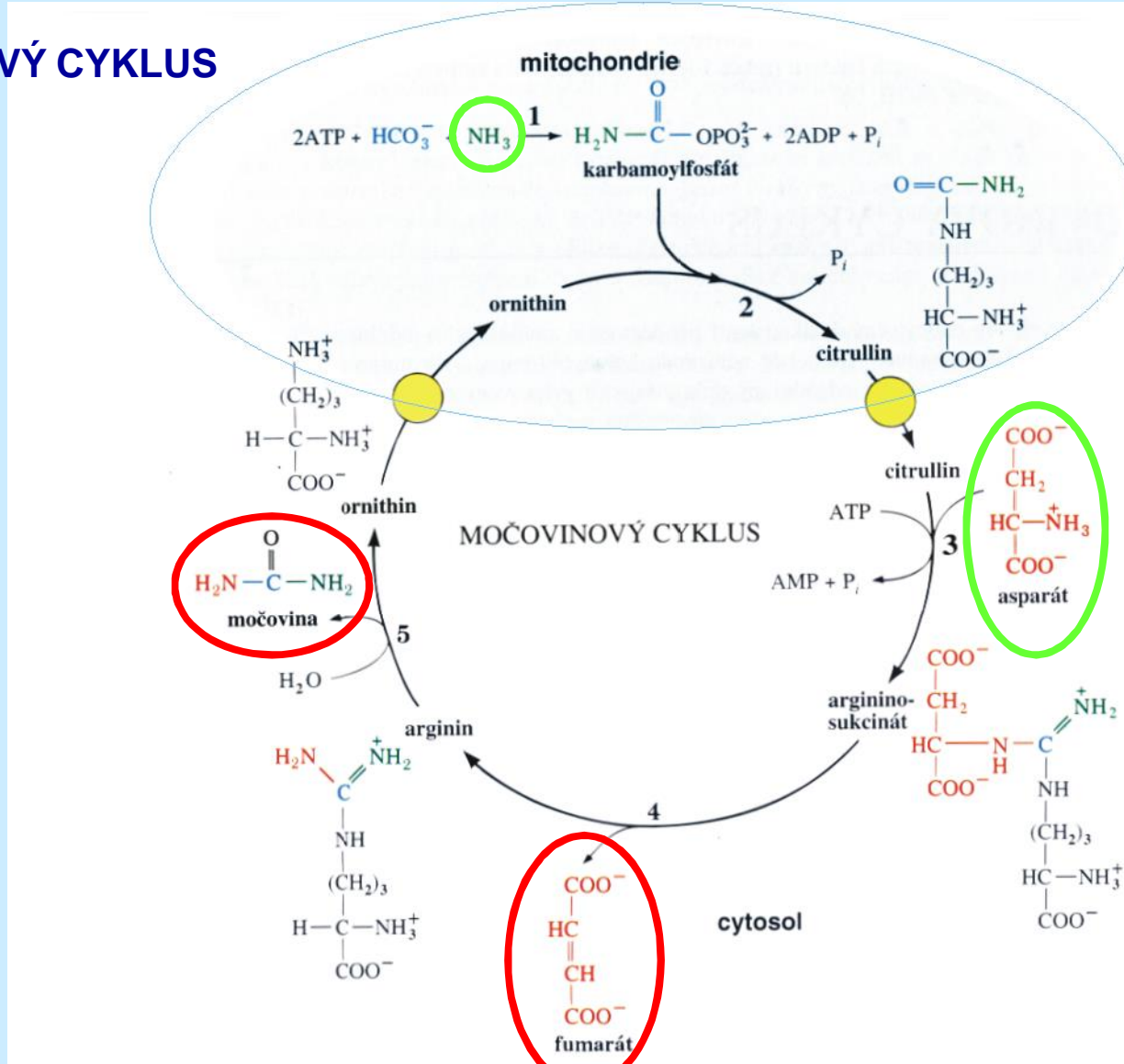
METABOLISMUS AMINOKYSELIN (II)



Obr. 21-1

Metabolické dráhy vzniku oxalacetátu z laktátu, pyruvátu a intermediátů citrátového cyklu. Všechny aminokyseliny kromě leucinu a lysinu mohou být téměř reakcemi převedeny na oxalacetát a dále na glukosu.

MOČOVINOVÝ CYKLUS



Obr. 24-4

Močovinový cyklus probíhá částečně v mitochondriích a částečně v cytosolu, přičemž ornithin a citrullin jsou přes mitochondriální membránu přenášeny specifickými transportními systémy. Cyklu se účastní pět enzymů: (1) karbamoylfosfátsynthetasa, (2) ornithin-karbamoyltransferasa, (3) argininosukcinátsynthetasa, (4) argininosukcinátlyasa a (5) arginasa.